

INVESTIGAÇÃO POTENCIOMÉTRICA DE EQUILÍBRIOS  
IÔNICOS. DEPENDÊNCIA MATEMÁTICA ENTRE OS  
COEFICIENTES DE ATIVIDADE DE ESPÉCIES EM EQUILÍBRIO E  
A FORÇA IÔNICA: SISTEMA Cu(II)-ACETATO, EM MEIO AQUOSO

Leonardo PEZZA\*  
Manuel MOLINA\*\*  
Cristo MÉLIOS\*\*  
Mercedes de MORAES\*\*  
João Olímpio TOGNOLLI\*\*

**RESUMO:** Os coeficientes de atividade dos íons  $H_3O^+$ ,  $Cu^{+2}$  e  $H_3CCO_2^-$  foram determinados a 25 °C num intervalo de força iônica entre 0,10 e 3,00 M, ajustada pela adição de  $NaClO_4$ . A investigação foi realizada por meio de estudo potenciométrico com eletrodos ion-seletivos a  $H_3O^+$  e  $Cu^{+2}$  e um eletrodo de segunda espécie sensível ao íon acetato. Os coeficientes de atividade ( $y_x$ ) podem ser avaliados através do emprego das seguintes equações para os íons  $H_3O^+$  ( $y_H$ );  $Cu^{+2}$  ( $y_{Cu}$ ) e  $H_3CCO_2^-$  ( $y_{Ac}$ ):  $\log y_H = -0,263 I^{1/2} + 0,148 I + 0,0971 I^{3/2}$ ;  $\log y_{Cu} = -1,290 I^{1/2} + 0,931 I$ ;  $\log y_{Ac} = 0,0378 I$ .

**UNITERMO:** Coeficiente de atividade individual; força iônica; mistura de eletrolitos.

## INTRODUÇÃO

Em estudos envolvendo equilíbrios em solução, atualmente desenvolvidos neste laboratório, torna-se importante encontrar relações matemáticas entre as constantes de formação de sistemas constituídos por ligantes (L) e íons metálicos ( $M^{+n}$ ) de interesse

\* Departamento de Química e Geociências – Instituto de Biociências, Letras e Ciências Exatas – UNESP – 15100 – São José do Rio Preto – SP.

\*\* Departamento de Química Analítica – Instituto de Química – UNESP – 14800 – Araraquara – SP.

biológico, ambiental, etc. em solução aquosa, com a composição e a força iônica ( $I$ ) do meio.<sup>1</sup> Dentro dessa linha faz-se necessário determinar a dependência dos coeficientes de atividade de todas as espécies envolvidas nos equilíbrios com a força iônica do meio. Tais informações podem levar ao conhecimento completo do sistema, o que permitirá a interconversão de constantes de equilíbrio de determinado sistema para qualquer valor de  $I$ , dentro do intervalo estudado.

Alguns pesquisadores têm empregado eletrodos ion-selectivos na avaliação de coeficientes de atividade individuais de determinados íons<sup>2,3</sup>. No presente trabalho, fez-se uma estimativa da dependência do coeficiente de atividade dos íons  $H_3O^+$ ,  $Cu^{+2}$  e acetato ( $Ac^-$ ) com a força iônica do meio, a 25°C, em solução aquosa, através de um estudo potenciométrico com eletrodos ion-selectivos a  $H_3O^+$  e  $Cu^{+2}$  e um eletrodo de segunda espécie sensível ao íon acetato.

## MÉTODOS E TÉCNICAS

Os coeficientes de atividade individuais dos íons  $H_3O^+$ ,  $Cu^{+2}$  e  $Ac^-$  ( $y_{H^+}$ ,  $y_{Cu^{+2}}$  e  $y_{Ac^-}$ , respectivamente) foram determinados através de medidas potenciométricas, em solução aquosa, na presença de  $NaClO_4$  como eletrólito inerte.

As medidas foram realizadas mediante o uso do titulador automático "Titroprocessor Metrohm", mod. 670, acoplado a buretas de pistão automáticas "Metrohm", mod. 665, empregando-se a seguinte célula potenciométrica termostatizada a (25,0 ± 0,1)°C:

$$(-)Ag/AgCl \quad | \quad [NaCl](aq) = 0,010M \quad | \quad [Y](aq) = x \quad | \quad [NaClO_4](aq) = I \quad | \quad [NaClO_4](aq) = (I-x)M \quad | \quad EI.(+) \quad (a)$$

onde:  $Y = HClO_4$ ;  $NaAc$  (mistura equimolar  $HAc$ - $NaAc$ ) e  $Cu(ClO_4)_2$ ;

$E.I.$  = eletrodo indicador (eletrodo de vidro Metrohm EA 158; eletrodo de  $Hg_2(Ac)_2/Hg|Pt$  e eletrodo íon seletivo a  $Cu(II)$  Metrohm n° 6.0502.140);  $x$  varia no intervalo de  $1,00 \times 10^{-3}$  a  $1,194 \times 10^{-1} M$ .

O eletrodo de referência utilizado nas três células é de procedência "Metrohm", nº 6.0726.100.

Todos os reagentes empregados foram de pureza analítica; foi empregada água bidestilada e desionizada no preparo de todas as soluções. As medidas foram realizadas em sala termostatizada a  $(25 \pm 1)^\circ C$ .

Um microcomputador ITAUTEC-PC 286 foi utilizado na execução de todos os cálculos.

## Tratamento de dados experimentais

A força eletromotriz ( $E$ ) da célula (a) acima é dada por:

$$E = E_x^{0'} \pm S \log[x] + E_j \quad (1)$$

$$\text{onde: } E_x^{0'} = (E_x^{0'})_0 \pm S \log y_x \quad (2)$$

$$S = 2,303 RT/nF = 59,16 \text{ mV/dec. para } H^+ \text{ e } Ac^- \text{ a } 25^\circ C \text{ e } 29,58 \text{ mV/dec. para } Cu^{+2}$$

$$\text{a } 25^\circ C; \quad x = H^+; \quad Ac^- \text{ e } Cu^{+2};$$

$E_j$  é o potencial de junção líquida que para o caso do sistema  $HClO_4 - NaClO_4$  tem a forma:  $E_j = K_H[H^+]$ . Já para os outros sistemas estudados ele é constante e desprezível nas condições experimentais empregadas.

Dessa forma temos:

$$HClO_4 - NaClO_4 : E = E_H^{0'} + S \log[H^+] + K_H[H^+] \quad (3)$$

$$HAc - NaAc - NaClO_4 : E = E_{Ac}^{0'} - S \log[Ac^-] \quad (4)$$

$$Cu(ClO_4)_2 - NaClO_4 : E = E_{Cu}^{0'} + S \log[Cu^{+2}] \quad (5)$$

Através de pares de valores ( $E; [H^+]$ ,  $[Ac^-]$  ou  $[Cu^{+2}]$ ) e empregando-se programa computacional apropriado é possível encontrar  $E_H^{0'}$ ,  $E_{Ac}^{0'}$  e  $E_{Cu}^{0'}$ .

A expressão utilizada para obter os valores de  $\log y_H$  em misturas de eletrólitos<sup>5,6</sup> é a seguinte:

$$\log y_H = aI^{1/2} + bI + cI^{3/2} + dI^2 + \dots \quad (6)$$

onde:  $a, b, c, d, \dots$  são parâmetros empíricos.

Combinando-se a equação (2) com a (6), tem-se:

$$E_x^{0'} = (E_x^{0'})_0 \pm S(aI^{1/2} + bI + cI^{3/2} + dI^2 + \dots) \quad (7)$$

Dispondo-se de suficientes pares de valores ( $E_x^{0'}, I$ ), determinaram-se por meio de programa estatístico adequado<sup>7</sup>, os parâmetros envolvidos na equação (7) e portanto a dependência entre  $y_H$  e a força iônica do meio.

## RESULTADOS E DISCUSSÃO

O ajuste da equação (7) aos dados experimentais mostrou-se de boa qualidade, conforme pode ser observado pelos gráficos da Figura 1. Minimos extremamente característicos foram obtidos para  $H_3O^+$  e  $Cu^{+2}$  ao mesmo tempo que se observa um comportamento linear para o  $Ac^-$ , similar ao do ácido acético em mistura de eletrólitos fortes<sup>8</sup>, o que confere consistência ao método proposto para estimar os  $y_x$  desses íons.

Dessa maneira foi possível encontrar equações gerais que exprimem a dependência dos coeficientes de atividade das espécies envolvidas no sistema Cu(II) — Acetato ( $\text{H}_3\text{O}^+$ ,  $\text{Cu}^{+2}$  e  $\text{Ac}^-$ ) com a força iônica do meio (rodapé da Tabela 1).

**TABELA 1 — Resultados dos coeficientes iônicos de atividade\* do  $\text{H}_3\text{O}^+$ ,  $\text{Cu}^{+2}$  e  $\text{Ac}^-$  em várias forças iônicas**

I (M)	$y_{\text{H}}^{(a)}$	$y_{\text{Cu}}^{(b)}$	$y_{\text{Ac}}^{(c)}$
0,10	0,860	0,484	—
0,30	0,825	0,373	1,03
0,50	0,836	0,357	1,04
1,00	0,960	0,438	1,09
1,20	0,970	0,506	1,11
1,50	1,20	0,655	1,14
1,60	1,26	0,721	1,15
1,80	1,41	0,881	1,17
2,00	1,58	1,09	1,19
2,40	2,04	1,72	—
2,50	2,18	1,94	—
3,00	3,11	3,62	—

\* Os  $y_X$  são expressos na escala de concentração molar;

(a)  $\log y_{\text{H}} = -0,263 I^{1/2} + 0,148 I + 0,0971 I^{3/2}$  (intervalo experimental de  $I = 0,10$  a  $3,00$  M);

(b)  $\log y_{\text{Cu}} = -1,290 I^{1/2} + 0,9311$  (intervalo experimental de  $I = 0,10$  a  $3,00$  M);

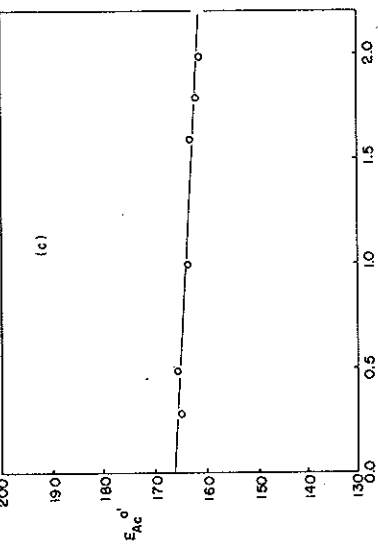
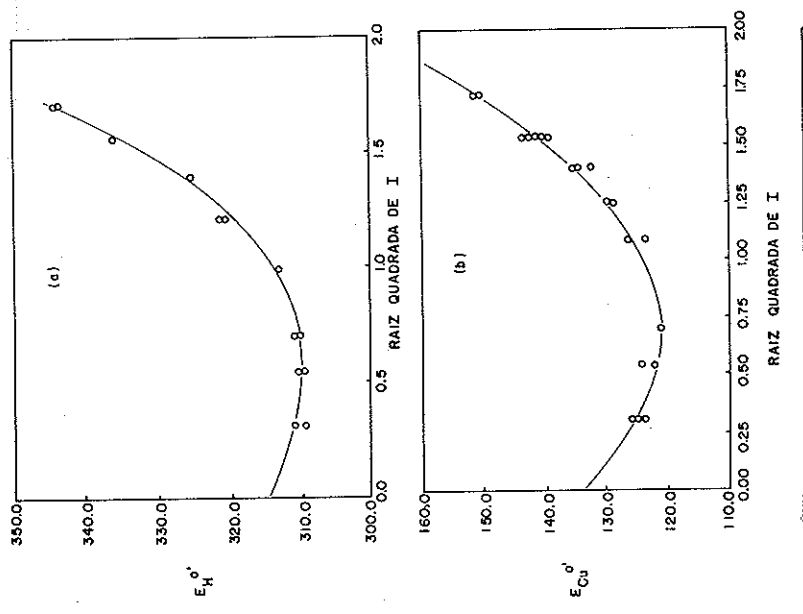
(c)  $\log y_{\text{Ac}} = 0,0378 I$  (intervalo experimental de  $I = 0,30$  a  $2,00$  M).

Na Tabela 1, encontram-se os valores calculados dos coeficientes de atividade individuais dos íons  $\text{H}_3\text{O}^+$ ,  $\text{Cu}^{+2}$  e  $\text{Ac}^-$  dentro dos respectivos intervalos de força iônica estudados.

Os resultados da Tabela 1 mostram que o efeito salino do  $\text{NaClO}_4$  sobre os coeficientes de atividade do íon acetato é bem menor do que o observado para o  $\text{H}_3\text{O}^+$  e  $\text{Cu}^{+2}$ .

#### AGRADECIMENTOS

Os autores agradecem o auxílio financeiro concedido pela FAPESP para aquisição de equipamentos; à CAPES (PICD) pela bolsa concedida.



- FIG. 1 — Pontos: dados experimentais; curvas: equações ajustadas.**
- (a)  $y_{\text{H}}^0' = 314,9 + 58,97 (-0,263 I^{1/2} + 0,148 I + 0,0971 I^{3/2})$ ;
  - (b)  $y_{\text{Cu}}^0' = 134,2 + 29,47 (-1,290 I^{1/2} + 0,931 I)$ ;
  - (c)  $y_{\text{Ac}}^0' = 166,4 - 61,8 (0,0378 I)$

PEZZA, L. *et alii* — Potentiometric investigation on ionic equilibria. Mathematical dependence between activity coefficients of species equilibrium and ionic strength: the Cu(II)-acetate system in aqueous medium. *Ecl. Quím.*, São Paulo, **15**: 17—22, 1990.

**ABSTRACT:** The activity coefficients associated with the  $H_3O^+$ ,  $Cu^{+2}$  and  $H_3CCO_2^-$  ions have been determined at 25 °C and ionic strengths ( $I$ ) comprised between 0.10 and 3.00 M, adjusted by adding  $NaClO_4$ . The investigation was carried out potentiometrically by using  $H_3O^+$  and  $Cu^{+2}$  ion-selective electrodes as well as a second kind electrode which responds to  $H_3CCO_2^-$ . It was found that the activity coefficients ( $\gamma_x$ ) can be assessed through the following equations for  $H_3O^+$  ( $\gamma_H$ );  $Cu^{+2}$  ( $\gamma_{Cu}$ ) and  $H_3CCO_2^-$  ( $\gamma_{Ac}$ ) ions:  $\log \gamma_H = -0.263I^{1/2} + 0.148I + 0.0971I^{3/2}$ ;  $\log \gamma_{Cu} = -1.290I^{1/2} + 0.931I$ ;  $\log \gamma_{Ac} = 0.0378I$ .

**KEY-WORDS:** single activity coefficient; ionic strength; mixture of electrolytes.

#### REFERÊNCIAS BIBLIOGRÁFICAS

- MOLINA, M. & MÉLIOS, C.B. — *Química Nova*, **11**, 291 (1978).
- UEMASU, I. & UMEZAWA, Y. — *Anal. Chem.*, **55**, 386 (1983).
- CAPONE, S.; DE ROBERTIS, A.; DE STEFANO, C.; SAMMARTANO, S. & SCARCELLA, R. — *Talanta*, **34**, 593 (1987).
- MOLINA, M.; MÉLIOS, C.; TOGNOLLI, J.O.; LUCHIARI, L.C. & JAFELICCI Jr., M. — *J. Electroanal. Chem.*, **105**, 237 (1979).
- GORDON, J.E. — *The Organic Chemistry of Electrolyte Solutions*, Wiley, New York, 1975, p. 36.
- MOLINA, M. — Tendências e perspectivas no estudo de equilíbrios em solução. *Conferência Plenária no IV Encontro Nacional de Química Analítica*, São Paulo, SP, 1987.
- Programa estatístico STATGRAPHICS*, versão 2.7, SERIAL STG 27 5-IC.
- HARNED, H.S. & OWEN, B.B. — *The Physical Chemistry of Electrolytic Solutions*, 3<sup>a</sup> ed., Reinhold, New York, 1958, p. 531 e 591.

Recebido em 27.04.90  
Aceito em 07.06.90